

تعیین ضخامت بهینه‌ی لایه‌ی خاک درشت‌دانه‌ی محصور‌کننده‌ی ژئوگرید و مهار - شبکه در خاک چسبنده

نازین سهرابی (دانشجوی کارشناسی ارشد)

نادر هاتف^{*} (استاد)

بخش راه ساختمان و محیط زیست، دانشگاه شیراز

در اجرای یک سازه‌ی خاک مسلح، برای بالابردن راندمان مسلح‌کننده‌ها، معمولاً از خاک‌های درشت‌دانه استفاده می‌شود. خاک‌های درشت‌دانه به علت ویژگی‌های ذاتی که دارند با چشم‌های مسلح‌کننده بهتر درگیر می‌شوند، اما عموماً از محل قرضه به محل اجرای پروژه منتقل شده و از این جهت تهیه‌ی آنها پرهزینه است. به همین دلیل در این تحقیق سعی شده است که فقط لایه‌یی از خاک درشت‌دانه در اطراف مسلح‌کننده استفاده شود و حجم باقیمانده با خاک محل یا خاک ریزدانه جایگزین شود. در این نوشته، نتایج آزمایش‌های بیرون‌کشش^۱ که بر روی ژئوگرید معمولی و مسلح‌کننده‌ی مهار-شبکه^۲ انجام شده‌اند، ارائه شده است و با مقایسه‌ی نتایج این آزمایش‌ها، ضخامت تقریبی بهینه برای لایه‌ی خاک درشت‌دانه‌ی اطراف مسلح‌کننده به دست آمده است. در نهایت، نتایج تحلیل عددی، با استفاده از نرم‌افزار اجزاء محدود Plaxis ۳D Tunnel، از طریق مقایسه با نتایج تحلیل آزمایشگاهی به تأیید رسیده‌اند.

sephid82@yahoo.com
nhataf@shirazu.ac.ir

وازگان کلیدی: آزمایش بیرون‌کشش، ژئوگرید، مهار-شبکه، خاک ریزدانه، خاک درشت‌دانه، ضخامت بهینه، نرم‌افزار اجزاء محدود Plaxis ۳D Tunnel

۱. مقدمه

در سازه‌های خاک مسلح هستند. این خاک‌ها در محدوده‌یی که سازه‌های خاک مسلح بارگذاری می‌شوند، به صورت مصالح کشسان عمل می‌کنند. عیب خاک‌های غیرچسبنده فقط این است که این خاک‌ها معمولاً مصالحی تهیه‌شده از محل قرضه هستند، و بنابراین ممکن است جهت اجرای پروژه‌ی مورد نظر پر هزینه باشند. از طرف دیگر، خاک‌های چسبنده برای ساختن سازه‌های خاک مسلح مناسب نیستند. رفتار این خاک‌ها به صورت خمیری یا کشسان خمیری است. مسلح‌کننده‌هایی که در خاک‌های چسبنده تحت اثر نتش زیادی واقع می‌شوند، ممکن است مستعد خرزش و تحت صدمه‌ی بیشتر در اثر خوردگی باشند. مهم‌ترین مزیت خاک‌های چسبنده در دسترس بودن آنهاست، لذا این مصالح مقومن به صرفه هستند.^[۱]

در رابطه با عوامل مؤثر و نیز رفتار مسلح‌کننده‌هایی از نوع ژئوستیک در حین بیرون‌کشش، تاکنون پژوهشگران مختلفی مطالعات آزمایشگاهی و عددی بسیاری انجام داده‌اند.

در سال ۱۹۹۳ بر روی ژئوگرید Tensar که در خاک ماسه‌یی قرار داده شده است، آزمایش‌های بیرون‌کشش انجام شد. یکی از اهداف این مطالعه، پررسی تأثیر ضخامت خاک ماسه‌یی اطراف ژئوگرید در تغییرات مقاومت بیرون‌کشش آنها بود. پژوهشگران معتقدند که شرایط مرزی (صلب و انعطاف‌پذیر بودن مرزها) از طریق ضخامت خاک، تأثیر مستقیمی در افزایش یا کاهش مقدار این مقاومت دارد.^[۲]

دو مؤلفه‌ی مهم برای هر سازه‌ی خاک مسلح عبارت‌اند از: خاک و عنصر مسلح‌کننده. خاک، بیشترین حجم یک سازه‌ی خاک مسلح را تشکیل می‌دهد. براساس یک قانون کلی تقریباً همیشه امکان ساخت یک سازه‌ی خاک مسلح حتی با استفاده از خاکی که در محل موجود است یا با استفاده از خاکی که از نزدیکی محل جمع‌آوری شده است، وجود دارد. اما لازم است بدانیم آیا خاک مورد استفاده برای ساخت سازه‌ی خاک مسلح، مناسب است یا خیر؟ به همین منظور، انتخاب خاک با درنظرگرفتن پارامترهایی مثل نوع سازه، پایداری طولانی مدت سازه‌ی ساخته شده، پایداری کوتاه‌مدت (در جن ساخت)، خصوصیات فیزیکی شیمیایی مصالح و هزینه‌ی کار صورت می‌گیرد. پایداری سازه‌ی خاک مسلح بستگی به سیچ مناسب اصطکاک بین خاک و مسلح‌کننده دارد. اصطکاکی که در این حالت بسیج می‌شود، تابعی از خصوصیات خاک و مسلح‌کننده است. خصوصیات مصالح پرکننده که بر اصطکاک بین خاک و مسلح‌کننده تأثیر می‌گذارند، عبارت‌اند از: چگالی، دانه‌بندی، درصد رطوبت، شکل و اندازه‌ی ذرات. خاک‌های غیرچسبنده با حدی از تراکم که منجر به انبساط حجمی آنها در حین آزمایش برش می‌شود، خاک‌های مناسب و ایده‌آلی برای استفاده

* نویسنده مسئول
تاریخ: دریافت ۲۶/۹/۱۳۹۰، اصلاحیه ۱۲/۶/۱۳۹۱، پذیرش ۲۲/۷/۱۳۹۱.

در سال ۲۰۰۸ نیز بر روی ژئوگرید Netlon با چشم‌های شش‌ضلعی و مسلح‌کننده‌ی مهار - شبکه (ساخته شده از ژئوگرید) مطالعات تجربی انجام شد. هدف از این پژوهش، در واقع بررسی رفتار مسلح‌کننده‌ی ابداعی (مهار - شبکه) با نسبت‌های مختلف تعداد مهار در واحد سطح ژئوگرید در خاک ماسه‌یی از نوع SW بود. نتایج آزمایش‌های بیرون‌کشش این پژوهش، برتری مسلح‌کننده‌ی مهار - شبکه را نسبت به ژئوگریدی که از آن ساخته شده بود، نشان می‌داد.^[۳]

همچنین در سال ۲۰۰۸ مطالعات آزمایشگاهی بر روی دو نوع مسلح‌کننده، ژئوگرید CE1۳۱ (با چشم‌های شش‌ضلعی) و مهار - شبکه‌ی ساخته شده از این ژئوگرید در تنش‌های سربار ۸ و ۱۸ کیلوپاسکال و در خاک ماسه‌یی SW انجام شد. هدف از انجام این آزمایش‌ها، در واقع مقایسه‌ی مقاومت بیرون‌کشش این دو نوع مسلح‌کننده با هم و در تنش‌های سربار مذکور بوده است. نتایج مطالعات در این پژوهش نشان داد که مسلح‌کننده‌ی مهار - شبکه، تحت شرایط یکسانی با ژئوگرید معمولی، مقاومت بیرون‌کشش بیشتری از خود بروز می‌دهد، این در حالی است که این مسلح‌کننده برای رسیدن به مقاومت نهایی خود، جابه‌جایی کمتری نسبت به ژئوگرید معمولی، در نقطه‌ی نزدیک به اعمال بار، دارد. به علاوه، مسلح‌کننده‌ی مهار - شبکه رفتار سخت‌تری را نسبت به ژئوگرید معمولی از خود بروز می‌دهد و این به دلیل ظرفیت بالا و توانایی آن در بسیج شدن مقاومت بیرون‌کشش در جابه‌جایی‌های کمتر است. این افزایش ظرفیت در مسلح‌کننده‌ی مهار - شبکه به علت مکانیزم مقاومت فعال مهارهاست.^[۴]

۲. مواد و مصالح مورد استفاده

۱.۲. مصالح خاکی

مصالح خاکی مورد استفاده در آزمایش‌های مربوط به این تحقیق، دو نوع ریزدانه و درشت‌دانه است. خاک ریزدانه مورد استفاده از نوع CL با زاویه اصطکاک داخلی ۲۸ درجه و مقدار چسبندگی کم است (مقدار مذکور از آزمایش برش مستقیم به دست آمده است) و خاک درشت‌دانه از نوع SW با زاویه اصطکاک داخلی ۴۳ درجه است. میزان تراکم نسبی لایه‌ی درشت‌دانه در تمامی نمونه‌ها حدوداً ۸۲/۸٪ است. خاک ریزدانه مورد استفاده در این آزمایش‌ها پس از پهن کردن و خشک کردن به کمک چکشی پلاستیکی کوبیده و سپس از الک نمره‌ی ۱۰ عبور داده شده است تا حالت یکنواختی در تمامی آزمایش‌ها داشته باشد. در آزمایش‌های انجام شده، خاک به صورت خشک مورد استفاده قرار گرفته و رطوبت آن به عنوان یک پارامتر متغیر مورد بررسی قرار نگرفته است. میزان تراکم نسبی لایه‌ی ریزدانه در تمامی نمونه‌ها حدوداً ۶۵/۸٪ است. نمودار دانه‌بندی هر دو نوع خاک در شکل ۱ نشان داده شده است.

۲.۲. مشخصات ژئوگرید و مهار - شبکه‌ی مورد استفاده

مسلح‌کننده‌های مورد استفاده در این تحقیق عبارت‌اند از:

۱. ژئوگرید Netlon دو محوره با نام تجاری CE1۳۱ (شکل ۲)، که مشخصات

در سال ۲۰۰۸ نیز بر روی ژئوگرید Netlon با چشم‌های شش‌ضلعی و مسلح‌کننده‌ی مهار - شبکه (ساخته شده از ژئوگرید) مطالعات تجربی انجام شد. هدف از این پژوهش، در واقع بررسی رفتار مسلح‌کننده‌ی ابداعی (مهار - شبکه) با نسبت‌های مختلف تعداد مهار در واحد سطح ژئوگرید در خاک ماسه‌یی از نوع SW بود. نتایج آزمایش‌های بیرون‌کشش در این پژوهش، برتری مسلح‌کننده‌ی مهار - شبکه را نسبت به ژئوگریدی که از آن ساخته شده بود، نشان می‌داد.^[۵]

همچنین در سال ۲۰۰۹ هم در حین بررسی اثر محصره‌کردن ژئوگرید در یک پانل ساندویچی با خاک ماسه‌یی SW، اثر این پانل بر افزایش مقاومت خاک رس بررسی شد. این اثر با استفاده از آزمایش برش مستقیم بر روی ژئوگریدها، در ضخامت‌های ۴، ۸، ۱۲، ۱۰ و ۱۴ میلی‌متر خاک ماسه‌یی در برگیرنده‌ی ژئوگرید مورد بررسی قرار گرفت. با توجه به نتایج به دست آمده، ضخامت ۱۰ میلی‌متر خاک ماسه‌یی اطراف ژئوگرید، مقاومت برشی خاک مسلح را بیشتر از سایر ضخامت‌ها افزایش می‌دهد. تعیین این ضخامت بهینه، با توجه به نتایج مطالعات، مستقل از تنش سربار است.^[۶]

در سال ۲۰۱۱ نیز مطالعات آزمایشگاهی بر روی لایه‌ی از خاک ماسه‌یی در سال ۲۰۰۹ هم در حین بررسی اثر محصره‌کردن ژئوگرید در یک پانل ساندویچی با خاک ماسه‌یی SW، اثر این پانل بر افزایش مقاومت خاک رس بررسی شد. این اثر با استفاده از آزمایش برش مستقیم بر روی ژئوگریدها، در ضخامت‌های ۴، ۸، ۱۲، ۱۰ و ۱۴ میلی‌متر خاک ماسه‌یی در برگیرنده‌ی ژئوگرید مورد بررسی قرار گرفت. با توجه به نتایج به دست آمده، ضخامت ۱۰ میلی‌متر خاک ماسه‌یی اطراف ژئوگرید، مقاومت برشی خاک مسلح را بیشتر از سایر ضخامت‌ها افزایش می‌دهد. تعیین این ضخامت بهینه، با توجه به نتایج مطالعات، مستقل از تنش سربار است.^[۷]

در سال ۲۰۱۱ نیز مطالعات آزمایشگاهی بر روی لایه‌ی از خاک ماسه‌یی



شکل ۳. مهار-شبکه.

جدول ۲. مشخصات مهار-شبکه.

مقدار	ویژگی
۰/۱۸	سختی محوری مهارها (KN)
۳۰	طول مهارها (mm)
۱/۱	ضخامت مهارها (mm)

مذکور شامل یک عدد المان مکعب شکل از جنس پلاستیک فشرده‌اند که هر یک توسط بست کمر بندی، از جنس نوعی پلیمر با مقاومت کششی مناسب، در نقاطی که به فواصل ۱۵ و ۳۰ سانتیمتر از نقطه‌ی ابتدایی ژئوگرید قرار دارند، مطابق شکل ۳، به ژئوگرید متصل شده‌اند. بسته‌های مورد استفاده قادر به اتصال المان‌ها تحت هر زاویه‌ی هستند که در این پژوهش با زاویه‌ی ۴۵ درجه نسبت به راستای افق به ژئوگرید متصل شده‌اند. ژئوگرید CE1۳۱ دارای فضاهای خالی شش وجهی است و بسته‌های مذکور دقیقاً در دو سوی محل اتصال اعضای طولی و عرضی در هر حفره قرار می‌گیرند، که این عمل پایداری بهتر مهار را حین اعمال بار موجب می‌شود. شایان ذکر است که مقاومت کششی بسته‌ها تأثیری در مقاومت بیرون‌کشش مسلح‌کننده ندارد و فقط قرارگرفتن المان‌های مکعبی در حالت فعال ^۳ افزایش مقاومت بیرون‌کشش را موجب می‌شود.^[۱۰] ویژگی‌های مهار-شبکه در جدول ۲ ذکر شده است.

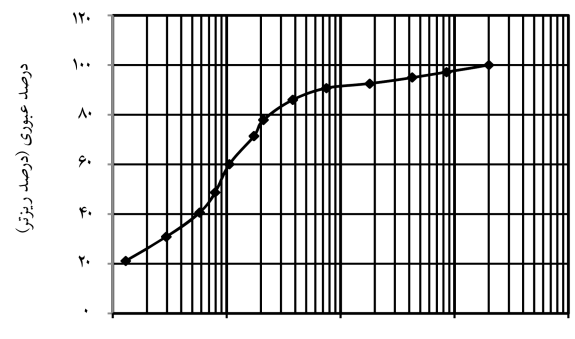
۳. مشخصات دستگاه آزمایش

دستگاه مورد استفاده در این تحقیق در شکل ۴ نشان داده شده است. این دستگاه مطابق توصیه‌های Palmeira در سال ۱۹۸۹ و Hayashi در سال ۱۹۹۶ و نیز بر طبق استاندارد ASTM، قبلاً به منظور انجام مطالعات دیگری بر روی همین دو مسلح‌کننده، در دانشگاه شیراز ساخته شده بود.^[۱۱] الیته در مطالعات پیشین از دستگاه‌هایی با ابعاد و اندازه و نیز تجهیزات مختلف جهت بررسی مقاومت بیرون‌کشش ژئوستیک‌ها استفاده شده است، اما عموماً تمامی دستگاه‌های مورد استفاده از این اجرا تشکیل شده‌اند:

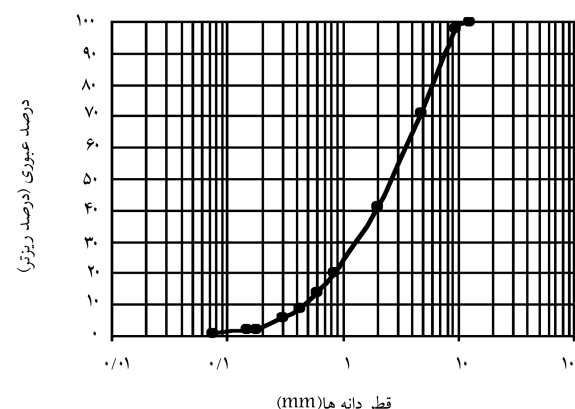
۱. جعبه^۱: در این جعبه، نمونه‌ی خاک و مسلح‌کننده مورد نظر قرار داده می‌شود و این جعبه بسته به اندازه‌ی ذرات، نوع و هندسه‌ی مسلح‌کننده مورد استفاده، ابعاد متفاوتی خواهد داشت.

۲. جک فشری: تأمین‌کننده‌ی نیروی کششی لازم برای بیرون‌کشیدن مسلح‌کننده که ظرفیت کششی آن 20 KN است.

۳. گیج: وسیله‌ی سنجش میزان جابه‌جایی قسمت‌های مختلف مسلح‌کننده است و دقت اندازه‌گیری آن، صدم میلی‌متر است.

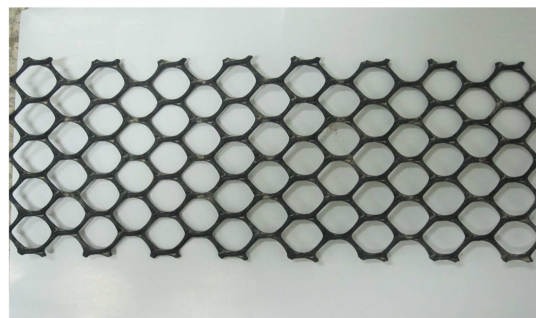


۱-الف) خاک ریزدانه،



۱-ب) خاک درشت دانه.

شکل ۱. نمودارهای دانه‌بندی مصالح درشت دانه و ریزدانه.



شکل ۲. ژئوگرید معمولی (Netlon).

جدول ۱. مشخصات ژئوگرید معمولی.

مقدار	ویژگی
۱۱/۷	سختی کشسان (kN/m)
۲۷×۲۷	ابعاد حفره‌ها (mm)
۲,۲	ضخامت متوسط اعضای عرضی (mm)

هندسی و مقاومتی آن در جدول ۱ ارائه شده است. ابعاد کلیه‌ی نمونه‌های مسلح‌کننده مورد استفاده در این آزمایش به علت محدودیتی که در ابعاد دستگاه وجود دارد، 16×40 سانتی‌متر است.

۲. مهار-شبکه مورد استفاده در این تحقیق نوعی مسلح‌کننده ابداعی است.^[۱۲] که از اتصال تعدادی مهار (أنکر) به ژئوگرید معمولی به دست آمده است. مهارهای

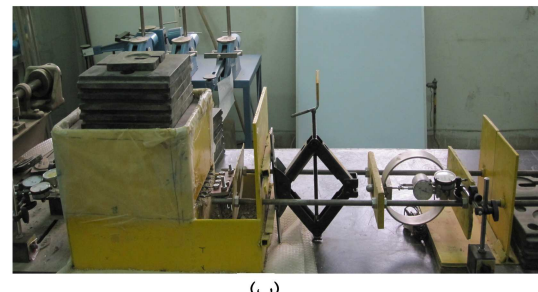
درشت‌دانه و مابقی جعبه‌ی خاک ریزدانه، ۵ سانتی‌متر پایین و ۱۱ سانتی‌متر بالای مهار - شبکه‌ی خاک درشت‌دانه و مابقی جعبه‌ی خاک ریزدانه. آزمایش‌هایی که نتایج آنها ارائه نشده است، با خطأ همراه بوده و نتایج قبل قبولی نداشته و در نتیجه حذف شده‌اند. لایه‌های ۵ سانتی‌متری خاک با اعمال ۳۶ ضربه با یک چکش پویی به میزان کافی متراکم شده‌اند (میزان تراکم نسیخی خاک ریزدانه و درشت‌دانه در بخش ۱۰.۲ توضیح داده شده است) (تأثیر تراکم خاک در این پژوهش به عنوان یک پارامتر متغیر مورد بررسی قرار نگرفته است). بار قائم اعمال شده به نمونه، ۵ کیلو پاسکال بوده است (این نوع زئوگرید برای تنش‌های سربار دیگر نیز آزمایش شده است و در تنش سربار بزرگ‌تر از ۵ کیلوپاسکال، در این دستگاه، بیشتر دچار انبساط طولی زیاد می‌شود تا جایه‌جا شدن). جهت بازگذاری افقی نیز از یک جک فزی استفاده شده است، که سرعت اعمال بار افقی با این جک یک میلی‌متر در دقیقه تنظیم شده است. بار افقی با یک گیج رینگی اندازه‌گیری می‌شود. برای اندازه‌گیری تمامی جایه‌جاشی‌ها از گیج‌هایی با دقت صدم و هزارم میلی‌متر استفاده شده است. دلیل استفاده از ضخامت‌های مختلف خاک درشت‌دانه و ریزدانه در این آزمایش‌ها این است که هدف انجام این پژوهش در واقع پیدا کردن ضخامت بهینه، یکبار برای خاک درشت‌دانه قرارگرفته در بالای مسلح‌کننده‌ها و بار دیگر برای خاک درشت‌دانه قرارگرفته در زیر مسلح‌کننده‌ها، در شرایط آزمایشگاهی مذکور بوده است، به‌طوری که به لحاظ اقتصادی نیز مقرر شده باشد. بدین ترتیب، ابتدا ضخامتی ثابت (۵ سانتی‌متر) برای خاک درشت‌دانه احتاطه‌کننده‌ی بالای مسلح‌کننده‌ها در نظر گرفته شد و با انجام آزمایش‌های بیرون‌کشش بر روی مسلح‌کننده‌ها، مقدار ضخامت بهینه برای خاک درشت‌دانه قرارگرفته در زیر مسلح‌کننده‌ها، مترازد با بیشترین ظرفیت تحمل مسلح‌کننده‌ها، به گونه‌یی که مقرر شده باشد، تعیین شد. سپس با داشتن این ضخامت، آزمایش‌های بیرون‌کشش برای ضخامت‌های ۵، ۹ و ۱۱ سانتی‌متری خاک درشت‌دانه قرارگرفته در بالای مسلح‌کننده‌ها انجام و با توجه به نتایج، ضخامتی بهینه برای لایه‌ی خاک بالای مسلح‌کننده‌ها مشخص شد.

۵. نحوه مدل‌سازی با نرم‌افزار Plaxis ۳D Tunnel

برای مدل‌سازی آزمایش بیرون‌کشش ابتدا باید شرایط مرزی را مطابق مدل واقعی مدل‌سازی کرد. به همین منظور ابتدا جعبه‌ی آزمایش با ابعاد 35×30 و عمق ۳۵ سانتی‌متر، در فضای نرم‌افزار با محورهای x و y رسم شده است. شرایط مرزی که باید در این نرم‌افزار در نظر گرفته شود تا مدل نرم‌افزاری با مدل واقعی مطابقت نزدیکی داشته باشد، عبارت است از صفحات^۴ به ضخامت ۵ سانتی‌متر با صلبیت بالا در سه طرف مدل جعبه به جای صفحات واقعی (که البته اگر حرکت مرزهای جعبه در ۳ جهت با استفاده از بار Total Fixities Load موجود است، محدود شود؛ نیازی به استفاده از این صفحات نیست)، یک صفحه به ضخامت ۵ سانتی‌متر با صلبیت بالا که بر روی خاک قرار می‌گیرد. تنش سرباری که بر خاک وارد می‌شود باید دقیقاً معادل با تنش سربار ۵ کیلوپاسکالی باشد که در آزمایشگاه بر خاک وارد شده است، که جهت مدل‌سازی آن از یک خاک با ارتفاع ۵ سانتی‌متر و وزن مخصوص 100 kN/m^3 بر روی صفحه‌ی مدل شده بر روی خاک، در مدل نرم‌افزاری استفاده شده است (برای مدل‌کردن این صفحه نباید کل سطح خاک پوشش داده شود، زیرا در این صورت بار به کلیه‌ی اجزای جعبه وارد می‌شود که این با مدل واقعی مغایرت خواهد داشت). به علاوه، برای حد فاصل



(الف)



(ب)

شکل ۴. دستگاه آزمایش بیرون کشش.

۴. گیره‌ی مسلح‌کننده^۵: رابط بین جک و مسلح‌کننده است و باید به گونه‌یی طراحی شود که بدون هیچ گونه تغییرشکلی نیروی کششی را به نمونه انتقال دهد (در این دستگاه، گیره‌ی مسلح‌کننده بیرون از جعبه قرار می‌گیرد).

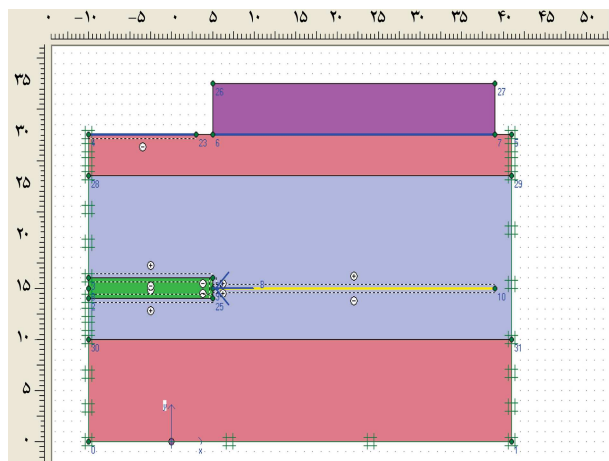
۵. صفحه‌ی صلبی که در بالای جعبه قرار داده شده است و تنش سربار از طریق آن به نمونه اعمال می‌شود.^[۱۰]

۶. سیم‌های فلزی سخت جهت احتاطه‌کننده بیرون از جعبه قرار داده شده در طول نمونه مسلح‌کننده در فواصل ۱۴، ۲۷ و ۴۰ سانتی‌متر از ابتدای آن.

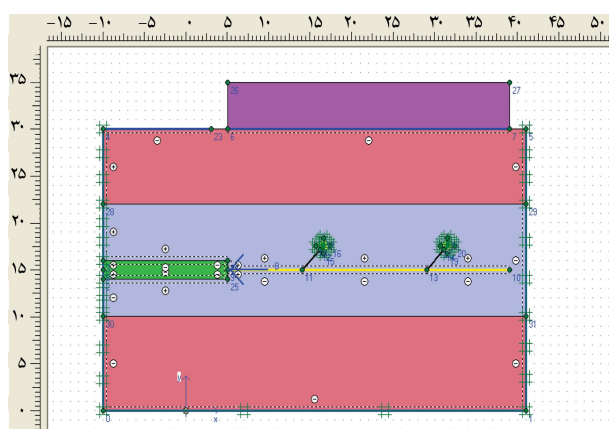
۴. روش انجام آزمایش

در این تحقیق حدود ۳۳ آزمایش انجام شده است که از این تعداد ۱۹ آزمایش بر روی ژئوگرید معمولی و ۱۴ آزمایش بر روی مهار - شبکه‌ی محصور شده در ضخامت‌های در نظر گرفته شده است: کل جعبه‌ی خاک درشت‌دانه، کل جعبه‌ی خاک ریزدانه، ۳ سانتی‌متر پایین و ۵ سانتی‌متر بالای ژئوگرید خاک درشت‌دانه و مابقی جعبه‌ی خاک ریزدانه، ۵ سانتی‌متر پایین و ۵ سانتی‌متر بالای ژئوگرید خاک درشت‌دانه و ۵ سانتی‌متر پایین و مابقی جعبه‌ی خاک ریزدانه، ۷ سانتی‌متر پایین و ۵ سانتی‌متر بالای ژئوگرید خاک درشت‌دانه و مابقی جعبه‌ی خاک ریزدانه، ۵ سانتی‌متر پایین و ۷ سانتی‌متر بالای ژئوگرید خاک درشت‌دانه و مابقی جعبه‌ی خاک ریزدانه، ۵ سانتی‌متر پایین و ۹ سانتی‌متر بالای ژئوگرید خاک درشت‌دانه و مابقی جعبه‌ی خاک ریزدانه، ۵ سانتی‌متر پایین و ۱۱ سانتی‌متر بالای ژئوگرید خاک درشت‌دانه و مابقی جعبه‌ی خاک ریزدانه.

برای مسلح‌کننده مهار - شبکه، جعبه‌ی آزمایش به این حالت‌ها پر شده است: کل جعبه‌ی خاک درشت‌دانه، کل جعبه‌ی خاک ریزدانه، ۵ سانتی‌متر پایین و ۵ سانتی‌متر بالای مهار - شبکه‌ی خاک درشت‌دانه و مابقی جعبه‌ی خاک ریزدانه، ۵ سانتی‌متر پایین و ۷ سانتی‌متر بالای مهار - شبکه‌ی خاک درشت‌دانه و مابقی جعبه‌ی خاک ریزدانه، ۵ سانتی‌متر پایین و ۹ سانتی‌متر بالای مهار - شبکه - خاک درشت‌دانه و مابقی جعبه‌ی خاک ریزدانه.



شکل ۵. مدل ژئوگرید در ۱۱ سانتی متر خاک بالا و ۵ سانتی متر خاک پایین.



شکل ۶. مدل مهار - شبکه در ۷ سانتی متر خاک بالا و ۵ سانتی متر خاک پایین.

۶. نتایج به دست آمده از تحلیل آزمایشگاهی

در این پژوهش، ابتدا آزمایش بر روی ژئوگرید معمولی انجام شد که در آنها ضخامت لایه‌ی خاک درشت‌دانه‌ی بالایی ژئوگرید به طور ثابت و برابر ۵ سانتی متر قرار داده شد و ضخامت لایه‌ی پایینی آن به ترتیب برابر ۳، ۵ و ۷ سانتی متر تغییر داده شد تا ابتدا ضخامت بهینه‌ی برای لایه‌ی پایین ژئوگرید تعیین شود. ضخامت‌های در نظر گرفته شده در آزمایشگاه به صورت کمینه بود و در واقعیت با توجه به دانه‌بنده و امکانات اجرایی می‌تواند تعیین شود. نتایج این آزمایش‌ها در شکل ۷ نشان داده شده است. همان‌طورکه ملاحظه می‌شود، نیروی پیرونکشش و قیسی ضخامت لایه‌ی پایینی خاک درشت‌دانه ۵ سانتی متر است، تقریباً حد واسط نیروی متناظر دو ضخامت دیگر است. به علاوه با توجه به شکل ۷، مقادیر به دست آمده بین دو مقدار پیشینه (وقتی جعبه کاملاً با خاک درشت‌دانه پر شود) و کمینه (وقتی جعبه کاملاً با خاک ریزدانه پر شود) قرار دارند.

با وجود اینکه مقاومت ژئوگرید در ضخامت ۳ سانتی متری تفاوت چندانی با ضخامت ۵ سانتی متری ندارد، اما ترجیح بر این است که ضخامتی برای پرکردن حجم خاک پایین مسلح‌کننده در این سیستم در نظر گرفته شود که نسبت به ضخامت خاک درشت‌دانه‌ی بالای ژئوگرید آنقدر کم نباشد، طوری که خاک پایین ژئوگرید مثل یک غشای نازک عمل کند و ژئوگرید به راحتی روی آن بلند و پارامترهای مقاومتی سطح مشترک خاک - ژئوگرید مؤثر واقع نشوند. همچنین علت اینکه ضخامت ۷

کلیه‌ی سطوح متفاوت در تماس با خاک از جمله کلیه‌ی صفحات، ژئوگرید و غیره باید المان فصل مشترک تعریف کرد.

برای مدل کردن مهار - شبکه از ژئوگرید و برای مدل کردن مهارها از ابزار "node to node anchor" استفاده شده است. در فواصل ۱۵ و ۳۰ سانتی‌متری از ابتدای ژئوگرید این مهارها با زاویه‌ی ۴۵ درجه نسبت به راستای افق قرار داده شده‌اند. به منظور مدل‌سازی المان‌های مکعب‌شکلی که به مهارها متصل‌اند، از یک هندسه‌ی مکعب‌شکل استفاده شده است که حرکت محیط آن با گزینه‌ی Total Fixities محدود شده است. به منظور مدل‌سازی جنس پلاستیک فشرده مانند این المان‌ها، داخل محیط محدود شده‌ی آنها در نرم‌افزار، با خاکی دارای مدول کشسانی زیادی پر شده است. نحوه‌ی مش‌بندي به صورت درشت انجام شده است.

به منظور مدل کردن مناسب نیروی پیرونکشش، مدل‌های مختلفی با انواع شرایط بارگذاری ساخته شد. در این مدل‌ها پس از انجام محاسبات با این نرم‌افزار، نتیجه‌ی نهایی با آنچه که قابل انتظار بود هر یک به دلایلی مغایرت داشت. البته علت این مغایرت کاملاً قابل فهم و قابل توضیح است. از آنجا که در این پژوهش رفتار ژئوگرید و مهار - شبکه حین پیرونکشیدگی مدنظر است، بنا بر این به منظور مدل‌سازی هر چه بهتر رفتار این مسلح‌کننده‌ای از A Load system چه مدل‌سازی نیروی پیرونکش استفاده شده است. برای مدل‌سازی دقیق‌تر خاک، وزن حجمی هر دو نوع خاک ریزدانه و درشت‌دانه‌ی متراffد با تراکم خاک در مدل آزمایشگاهی استفاده شده است.

مقدار پارامترهایی که در این نرم‌افزار برای مدل‌سازی انواع المان‌ها از جمله: خاک درشت‌دانه و ریزدانه، ژئوگرید، و مهارها به کار رفته است، به طور خلاصه به این شرح است:

۱. المان‌های خاکی: پارامترهایی به کار برده شده در مدل‌سازی عددی در جدول ۳ نشان داده شده است. پارامترهایی که مستقیماً از آزمایش به دست یافته شده‌اند (مانند ضریب پواسون) از محدوده‌ی گزارش شده توسط صدر [۱۰] و مصلی نژاد [۱۲] و سعی و خطأ به صورتی که نتایج تحلیل عددی با نتایج آزمایش تطابق داشته باشند، تعیین شده‌اند. مدل به کار رفته برای خاک، از نوع موهر-کولمب است.

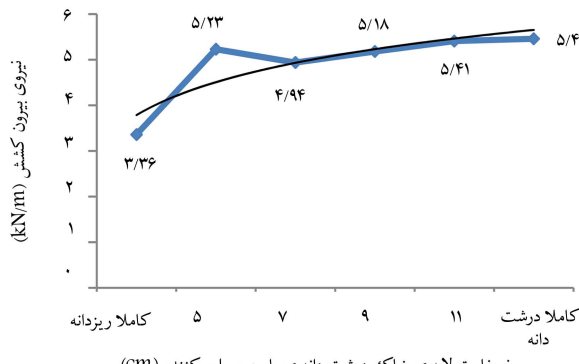
$$\text{۲. ژئوگرید: } EA = ۱۱۷ \text{ KN/cm}^2$$

$$\text{۳. مهارها: } EA = ۱۸ \text{ KN}$$

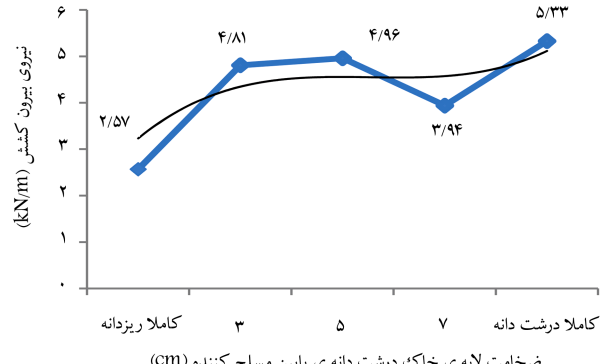
در شکل‌های ۵ و ۶ نمونه‌ی از مدل ساخته شده در این نرم‌افزار نشان داده شده است.

جدول ۳. پارامترهای خاک به کار برده شده در تحلیل عددی.

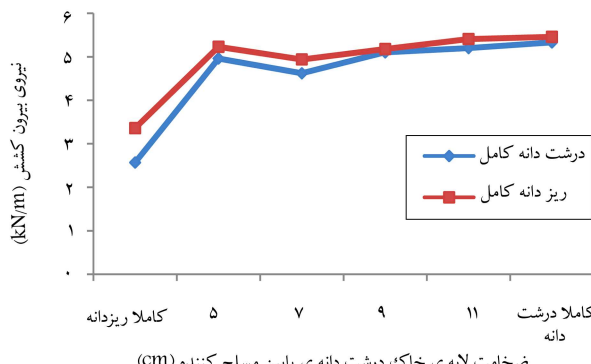
نوع خاک	خاک ریزدانه	خاک درشت‌دانه
$\gamma_{sat} (\text{kN/cm}^3)$	$1/6 \times 10^{-6}$	2×10^{-6}
$\gamma_{unsat} (\text{kN/cm}^3)$	$1/4 \times 10^{-6}$	$1/7 \times 10^{-6}$
$\Psi (\text{degree})$	۰	۱۳
$\varphi (\text{degree})$	۲۸	۴۳
$c (\text{kN/cm}^2)$	1×10^{-2}	1×10^{-6}
ν	$0/3$	$0/1$
$E (\text{kN/cm}^2)$	$0/9$	۱
$R_{\text{صل مشترک}}$	$0/6$	$0/3$



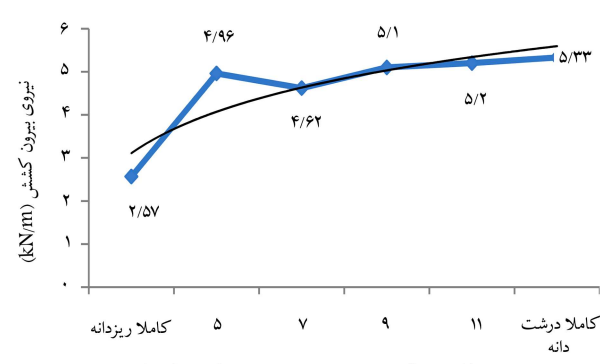
شکل ۹. نمودار نیرو - ضخامت درشت دانه‌ی بالایی مهار - شبکه.



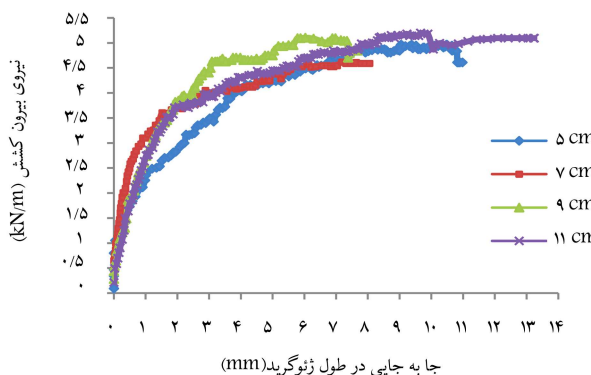
شکل ۷. نمودار نیرو - ضخامت درشت دانه‌ی پایین ژتوگرید.



شکل ۱۰. نمودار نیرو - ضخامت درشت دانه‌ی بالایی ژتوگرید و مهار - شبکه.



شکل ۸. نمودار نیرو - ضخامت درشت دانه‌ی بالایی ژتوگرید.

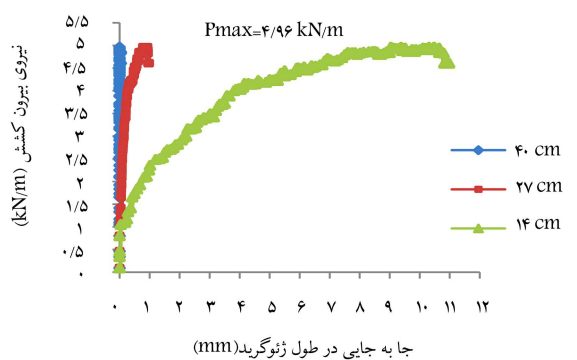


شکل ۱۱. نمودار نیرو - جابه‌جایی ضخامت‌های مختلف درشت دانه‌ی بالایی ژتوگرید.

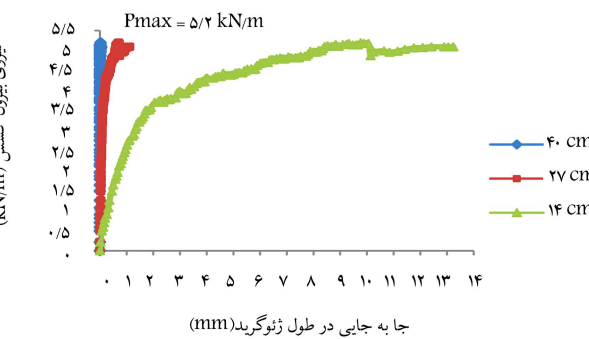
وقتی ضخامت خاک روی آنها ۵ سانتی‌متر است، با مقدار بیشینه تقاضه چندانی ندارد و از طرفی مقدار این مقاومت نسبت به خاک کاملاً ریزدانه چهش ناگهانی داشته است، بنابراین ضخامت ۵ سانتی‌متر بالا و ۵ سانتی‌متر پایین و در نهایت ضخامت ۱۰ سانتی‌متر خاک دانه‌ی جهت محصورکردن کل سطح این دو نوع مسلح‌کننده تحت تنش سربار ۵ کیلوپاسکال و شرایطی که برای این آزمایش‌ها ذکر شده است، به عنوان ضخامت بهینه انتخاب می‌شود. نمودار نیرو - جابه‌جایی این آزمایش‌ها، برای نقطه‌یی از آنها که به فاصله‌ی ۱۴ سانتی‌متر از دیواره‌ی جلویی دستگاه واقع شده است، برای ژتوگرید معمولی در شکل ۱۱ و برای مهار - شبکه در شکل ۱۲ نشان داده شده است. همان‌طور که از این نمودارها پیداست، با افزایش نیروی بیرون‌کشش، ژتوگرید به تدریج با گذشت زمان نیرو می‌گیرد و پس از اینکه این

سانتی‌متر خاک درشت دانه‌ی پایین ژتوگرید در این آزمایش نسبت به دو حالت دیگر افت مقاومت داشته است، در ضخامت‌هایی بیشتر از یک ضخامت معین، دیگر افزایش ضخامت خاک درشت دانه تأثیری در افزایش مقاومت مسلح‌کننده ندارد؛ این یافته مطابق با نتایج سایر پژوهشگران^[۱] است. در این حالت مقاومت مسلح‌کننده، با افزایش ضخامت خاک، با افزایش می‌باید و یا ثابت می‌ماند. البته در مورد ضخامت ۷ سانتی‌متر خاک درشت دانه‌ی قرارگرفته در زیر ژتوگرید، مقدار مقاومت به میزان تقریباً ۲۰٪ کاهش یافته است که می‌تواند به علت خطاهای ناشی از ثبت پارامترها به صورت دستی باشد (آزمایش برای ضخامت ۷ سانتی‌متر خاک درشت دانه‌ی قرارگرفته در زیر ژتوگرید به دلیل مذکور ۳ بار تکرار شده است که در هر ۳ مورد نتایج مشابه به همین مسوال بوده است).

در سری دوم آزمایش‌ها، ۶ آزمایش بر روی ژتوگرید معمولی و ۹ آزمایش نیز بر روی مهار - شبکه با لحاظکردن مقدار ثابت ۵ سانتی‌متر لایه‌ی درشت دانه به عنوان لایه‌ی خاک پایین مسلح‌کننده، برای ضخامت‌های ۵، ۷، ۹ و ۱۱ سانتی‌متر لایه‌ی خاک درشت دانه به عنوان لایه‌ی خاک بالای مسلح‌کننده، انجام شده است. در شکل ۸، نمودارهای مقاومت بیرون‌کشش ژتوگرید معمولی برای ضخامت‌های ۵، ۹ و ۱۱ سانتی‌متر لایه‌ی خاک درشت دانه‌ی بالای ژتوگرید رسماً شده است. با توجه به این نمودارها مشاهده می‌شود که با افزایش ضخامت درشت دانه، نیروی بیرون‌کشش تقریباً افزایش می‌باید. برای مسلح‌کننده‌ی مهار - شبکه نیز نمودار مشابهی در شکل ۹ رسماً شده است. در نمودار شکل ۱۰ نیز هر دو نمودار به طور هم‌زمان رسماً شده‌اند. مطابق این شکل، مهار - شبکه نسبت به ژتوگرید معمولی نیروی بیشتری را تحمل می‌کند و مقاومت بیرون‌کشش بیشتری از خود بروز می‌دهد. با توجه به شکل‌های ۸ و ۹، چون مقدار مقاومت بیرون‌کشش ژتوگرید و مهار - شبکه،

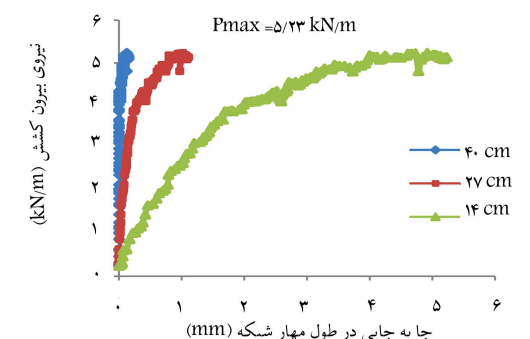


(الف) در حالت ۵ سانتی متر بالا و ۵ سانتی متر پایین ژئوگرید، خاک ماسه بی؛

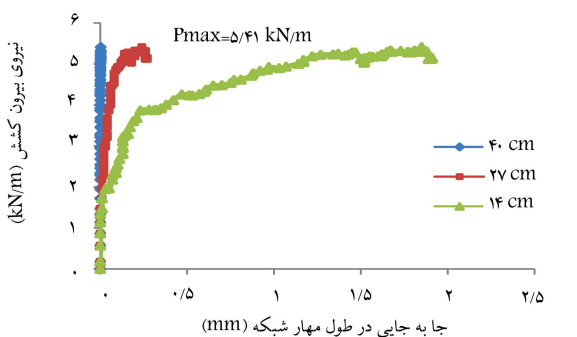


(ب) در حالت ۱۱ سانتی متر بالا و ۵ سانتی متر پایین ژئوگرید، خاک ماسه بی.

شکل ۱۳. نمودار نیرو - جابه جایی سه نقطه در طول ژئوگرید.

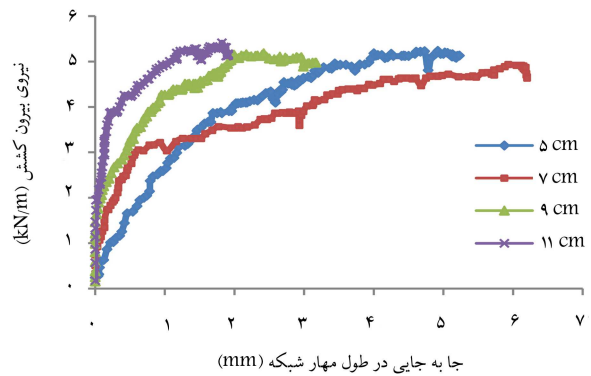


(الف) در حالت ۵ سانتی متر بالا و ۵ سانتی متر پایین مهار - شبکه، خاک ماسه بی؛



(ب) در حالت ۱۱ سانتی متر بالا و ۵ سانتی متر پایین مهار - شبکه، خاک ماسه بی.

شکل ۱۴. نمودار نیرو - جابه جایی سه نقطه در طول مهار - شبکه.

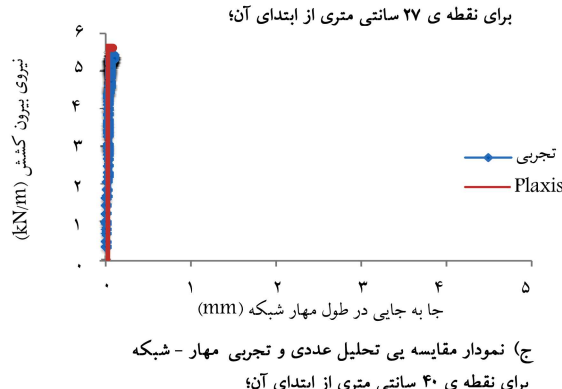
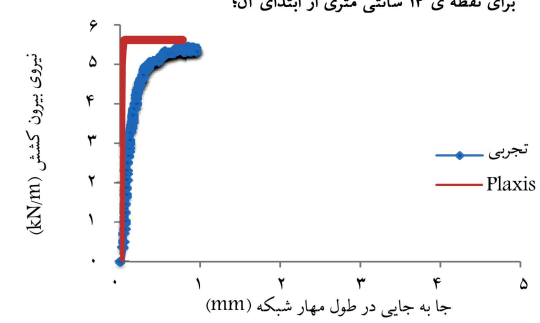
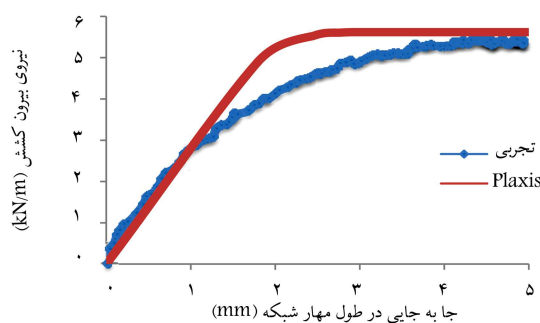


شکل ۱۲. نمودار نیرو - جابه جایی ضخامت‌های مختلف درشت‌دانه‌ی بالای مهار - شبکه.

نیرو به تمام نقاط ژئوگرید مدفعون در خاک منتقل شد، تدریجیاً با افزایش نیرو شروع به حرکت می‌کند. نمودارها نشان‌دهنده‌ی جابه جایی ابتدای ژئوگرید، یعنی نزدیک ترین نقطه به گیره‌ی متصل به مسلح‌کننده هستند. هنگامی که نیرو به حدی برسد که ژئوگرید داخل خاک به حرکت درپیاید، ازین لحظه به بعد افزایش نیروی بیرون‌کشش تأثیری در افزایش مقاومت بیرون‌کشش ژئوگرید ندارد، بدین معنی که به علت کاهش اصطکاک بین خاک و مسلح‌کننده، مسلح‌کننده مقاومتی از خود نشان نمی‌دهد و شروع به حرکت می‌کند. به علاوه، با افزایش ضخامت لایه‌ی درشت‌دانه‌ی اطراف ژئوگرید و مهار - شبکه، یک حالت سخت‌شدنی در نمودارها پیدا می‌شود. البته این حالت برای مهار - شبکه (شکل ۱۲) مشهودتر از ژئوگرید معمولی (شکل ۱۱) است. در هر یک از شکل‌های ۱۳ و ۱۴، دو نمونه از آزمایش‌هایی که بر روی ژئوگرید و مهار - شبکه انجام شده‌اند، جهت مقایسه‌ی رفتار این دو مسلح‌کننده در نقاط طولی آنها نشان داده شده است. همان‌طور که ملاحظه می‌شود، نقطه‌یی که به فاصله‌ی ۱۴ سانتی متر از ابتدای مسلح‌کننده‌ها قرار دارد، در اثر اعمال نیروی بیرون‌کشش، جابه جایی بیشتری داشته است. به علاوه با مقایسه‌ی شکل‌های ۱۳ و ۱۴ پیداست که هرچه ضخامت خاک ماسه‌ی اطراف مهار - شبکه افزایش یابد، رفتار سخت‌تری نسبت به ژئوگرید از خود نشان می‌دهد. چند نمونه از نتایج مقایسه‌ی تحلیل آزمایشگاهی و عددی این مسلح‌کننده‌ها در شکل‌های ۱۵ و ۱۶ نشان داده شده است. بر طبق این نمودارها، تطابق مناسبی بین نتایج عددی و آزمایشگاهی مشاهده می‌شود.

۷. نتایج به دست آمده از تحلیل عددی

با انجام مطالعات عددی با استفاده از نرم افزار Plaxis 3D Tunnel با روی ژئوگرید معمولی و مهار - شبکه‌ی ساخته شده با آن، نتایجی در قالب نمودارهای مقایسه‌ی با نتایج تجربی ارائه شده است. در شکل ۱۵، نمونه‌یی از رفتار کلی ژئوگرید و مهار - شبکه در تحلیل عددی با استفاده از این نرم افزار نشان داده شده است. با توجه به این شکل مشخص است که پیش‌بینی عددی رفتار این مسلح‌کننده‌ها با تقریب مناسبی به رفتار واقعی آنها، که از نتایج آزمایش بیرون‌کشش بر روی آنها مشخص می‌شود، نزدیک است. تفاوت محسوسی که در این نمودارها دیده می‌شود، سختی این نمودارها نسبت به نمودارهای نتایج حاصل از آزمایش بیرون‌کشش است. با توجه به اینکه در این تحقیق قصد براین است که با استفاده از تحلیل عددی مشخص شود آیا مسلح‌کننده‌های مذبور در این نوع مدل‌سازی از داخل خاک بیرون‌کشیده می‌شوند

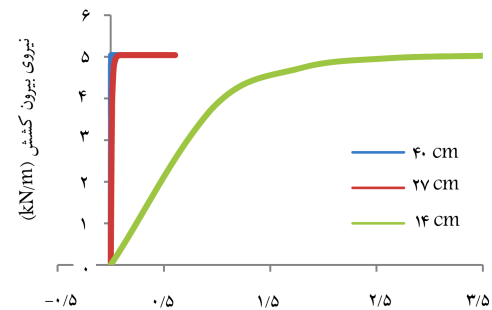


شکل ۱۷. نتایج مقایسه‌ی تحلیل عددی و تجربی مهار - شبکه (در حالت کاملاً درشت‌دانه).

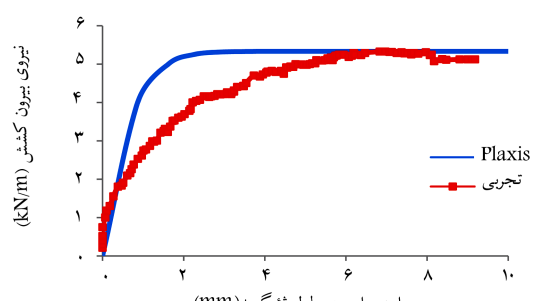
دست آمده است؛ به همین علت با استفاده از این نرم‌افزار می‌توان رفتار تقریبی مسلح‌کننده‌ها را، که با درصد بالایی به رفتار واقعی آنها شبیه است، پیش‌بینی کرد.

۸. نتیجه‌گیری

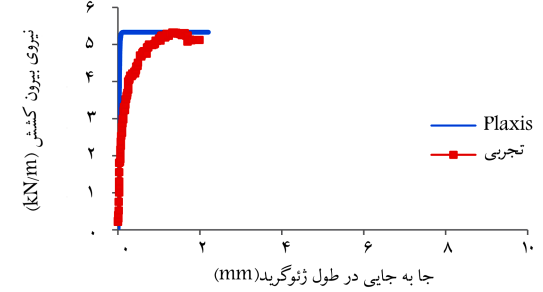
با توجه به نتایج آزمایش‌های بیرون کشیدگی انجام شده همان‌طور که پیشتر هم گفته شد، با افزایش ضخامت لایه‌ی خاک درشت‌دانه محدوده محصورکننده مسلح‌کننده‌ها مقاومت بیرون‌کشش مسلح‌کننده‌ها رفته رفته افزایش می‌یابد تا اینکه به حد تقریباً ثابتی می‌رسد. این روند افزایشی به این دلیل ایجاد می‌شود که با افزایش ضخامت لایه‌ی خاک درشت‌دانه محدوده محصورکننده مسلح‌کننده‌ها مقدار اصطکاکی که بین چشم‌های مسلح‌کننده با دانه‌های خاک در تماس با آن وجود دارد، رفته رفته افزایش می‌یابد. ولی از آنجاکه افزایش بیش از حد لایه‌ی خاک درشت‌دانه تأثیر چندانی در افزایش مقدار این اصطکاک ندارد، و این به دلیل بیشتر شدن ارتفاع خاک درشت‌دانه



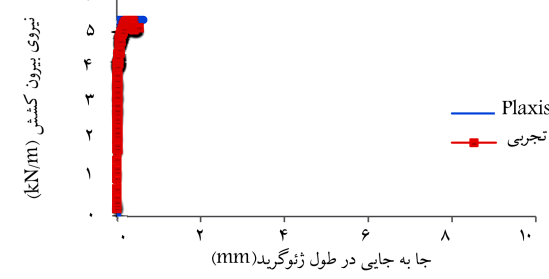
شکل ۱۵. نتایج تحلیل عددی ژئوگرید (در حالت کاملاً درشت‌دانه).



الف) نمودار مقایسه‌ی تحلیل عددی و تجربی ژئوگرید برای نقطه ی ۱۴ سانتی متری از ابتدای آن؛



ب) نمودار مقایسه‌ی تحلیل عددی و تجربی ژئوگرید برای نقطه ی ۲۷ سانتی متری از ابتدای آن؛



ج) نمودار مقایسه‌ی تحلیل عددی و تجربی ژئوگرید برای نقطه ی ۴۰ سانتی متری از ابتدای آن؛

شکل ۱۶. نتایج مقایسه‌ی تحلیل عددی و تجربی ژئوگرید (در حالت کاملاً درشت‌دانه).

یا خیر، بنا برای رفتار کلی آنها از نتایج تحلیل عددی مدد نظر است. البته، بسته به مقدار پارامترهایی که در قسمت ورودی این نرم‌افزار وارد می‌کنیم، این نمودارها دچار تغییرات مختلفی می‌شوند. مقدار پارامتر ضریب سطح مشترک خاک و ژئوگرید، که در ورودی این نرم‌افزار با R ۰ تا ۱ محدوده‌ی در محدوده‌ی ۰ تا ۱ تغییر می‌کند، تعریف می‌شود (جدول ۳)، با استفاده از آزمایش تعیین نشده است و مقدار آن با سعی و خطأ به

مقایسه با اختلاف این مقاومت با حالتی که جعبه‌ی آزمایش کاملاً با خاک ریزدانه پر شده است، ناچیز است. بنابراین ضخامت ۵ سانتی‌متر برای محصورکردن لایه‌ی بالای مسلح‌کننده‌ها، در شرایط مذکور آزمایشگاهی، به عنوان ضخامت بهینه انتخاب شده است. البته باید خاطرنشان کرد که مقاومت بیرون‌کشش مسلح‌کننده‌ها در سایر ضخامت‌ها تغییر شگرفی نسبت به ضخامت ۵ سانتی‌متری نداشته است و این مسئله متأثر از عوامل مختلفی است که از آن جمله می‌توان به محصورشدن خاک توسط مرزها و نیز ابعاد متوسط دستگاه آزمایش اشاره کرد. به علاوه می‌توان گفت که مسلح‌کننده‌ی مهار-شبکه نسبت به زئوگرید، در ازای جایه‌جایی کمتری در طول خود نیروی بیرون‌کشش بیشتری را تحمل می‌کند. این مسئله همچنین در نمودار مربوط به تحلیل عددی این مسلح‌کننده‌ها مشهود است. چند نمونه از نتایج مقایسه‌ی تحلیل آزمایشگاهی و عددی این مسلح‌کننده‌ها در شکل‌های ۱۶ و ۱۷ نشان داده شده است. بر طبق این نمودارها، تطابق مناسبی بین نتایج عددی و آزمایشگاهی مشاهده می‌شود.

بنابراین نتایج می‌توان ضخامت ۵ سانتی‌متر پایین و ۵ سانتی‌متر بالا را برای زئوگرید و مهار-شبکه به عنوان ضخامت بهینه، با توجه به شرایط حاکم بر آزمایش، نوع زئوگرید و نوع خاک مورد استفاده در نظر گرفت. باید خاطرنشان کرد که در تمامی آزمایش‌های انجام شده، زئوگرید و مهار-شبکه به بیرون‌کشیدگی کامل نرسیده‌اند و به علت محدودیت‌های موجود، فقط مقداری در خاک جایه‌جای شده‌اند. به علاوه باید مذکور شد که نتایج حاصل از این تحقیق فقط برای تنش سریار ۵ کیلوپاسکال و برای مسلح‌کننده‌های مذکور با شرایط توصیف شده صادق است.

با توجه به جدول ۴، درصد نسبت مقاومت بسیج شده در هر دو مسلح‌کننده نسبت به مقاومت نهایی آنها در حالتی که کل جعبه‌ی آزمایش با خاک درشت‌دانه پر شود، بیشترین مقدار است و می‌توان گفت که در این حالت تقریباً نصف مقاومت نهایی مسلح‌کننده‌ها در امتداد آنها بسیج می‌شود.

جدول ۴. درصد نسبت مقاومت بسیج شده در مسلح‌کننده‌ها نسبت به مقاومت نهایی آنها.

رئوگرید (%)	مهار شبکه (%)	درشت‌دانه کامل
۴۶,۶۷	۴۵,۵۶	درشت‌دانه کامل
-	۴۱,۱۱	۳B+۵T
۴۴,۷	۴۲,۳۹	۵B+۵T
-	۳۳,۶۸	۷B+۵T
۴۲,۲۲	۳۹,۴۹	۵B+۷T
۴۴,۲۷	۴۲,۵۹	۵B+۹T
۴۶,۲۴	۴۴,۴۴	۵B+۱۱T
۲۸,۷۲	۲۱,۹۶	ریزدانه کامل

از ارتفاع محدودی اثر مسلح‌کننده‌های است، مقدار مقاومت بیرون‌کشش آنها نهایاً تا مقدار مشخصی افزایش می‌باید و ثابت می‌ماند. مقدار ضخامت لایه‌ی خاک درشت‌دانه‌ی محصورکننده‌ی مسلح‌کننده‌ها را در این حالت می‌توان به عنوان ضخامت بهینه در نظر گرفت. با توجه به نمودارهای ترسیم شده در شکل‌های ۷ تا ۹، استفاده از خاک درشت‌دانه در اطراف مسلح‌کننده‌ها باعث افزایش مقاومت بیرون‌کشش آنها در مقایسه با حالتی می‌شود که کل جعبه‌ی آزمایش را خاک ریزدانه پر کرده است. با توجه به این نمودارها، مقاومت بیرون‌کشش مسلح‌کننده‌ها با افزایش ضخامت خاک درشت‌دانه‌ی اطراف آنها افزایش پیدا می‌کند. به این دلیل که مقدار اختلاف مقاومت در حالتی که ضخامت لایه‌ی خاک درشت‌دانه‌ی بالای مسلح‌کننده‌ها ۵ سانتی‌متر است، با حالتی که جعبه‌ی آزمایش کاملاً با خاک درشت‌دانه پر شده است، در

پابنوشت‌ها

1. pull-out
2. grid-anchor
3. active
4. box
5. clamp
6. plates

منابع (References)

1. Saran, S., *Reinforced Soil and its Engineering Applications*, I.K. International Pvt.Ltd., New Delhi, pp. 10-11 (2005).
2. Farrag, Kh., Acar, Y.B. and Juran, I. "Pull-out resistance of geogrid reinforcements", *Geotextile and Geomembrane*, **12**(2), pp. 133-159 (1993).
3. Touahamia, M., Sivakumar, V. and McKelvey, D. "Shear strength of reinforced-recycled material", *Construction and Building Materials*, **16**(6), pp. 331-339 (September 2002).
4. Mosallanezhad, M., "The investigation of bearing capacity improvement of granular soils using [Grid Anchors]", Ph.D. Thesis, Shiraz University, Iran, (In Persian)(2008).
5. Hataf, N. and Sadr, A. "Pull-out behavior of an innovative grid-anchor system", *Proceedings of the 17th International Conference on Soil Mechanics and Geotechnical Engineering*, (1,2,3 and 4), pp. 909-912 (2009).

6. Feng, X., Yang, Q. and Li, S. "Pullout behavior of geogrid in red clay and the prediction of ultimate resistance", *The Electronic Journal of Geotechnical Engineering*, Bundle J., **13**, pp. 1-17 (2008).
7. Abdi, M.R., Sadrnejad, A. and Arjomand, M.A. "Strength enhancement of clay by encapsulating geogrids in thin layers of sand", *Geotextiles and Geomembranes*, **27**(6), pp. 447-455 (December 2009).
8. Arjomand, M.A., Abdi, M.R. and Sadrnejad, S.A. "Clay reinforcement using geogrid embedded in thin layers of sand", *International Journal of Civil Engineering*, **7**(4), pp. 224-235 (2009).
9. Abdi, M.R. and Arjomand, M.A. "Pullout tests conducted on clay reinforced with geogrid encapsulated in thin layers of sand", *Geotextiles and Geomembranes*, **29**(6), pp. 588-595 (December 2011).
10. Sadr, A., "Investigation of Pull-Out resistance of Grid-Anchor system in sandy Soils" M.Sc. Thesis, Shiraz University, Iran, (In Persian) (2008).